

Lab 12 - Metodo degli Elementi Finiti per problemi parabolici

Consideriamo il seguente problema tempo-dipendente nel caso monodimensionale, sul dominio $\Omega_T = \Omega \times [0, T]$, con $\Omega = (a, b)$:

Dati $\alpha : [0, T] \rightarrow \mathbb{R}$, $\beta : [0, T] \rightarrow \mathbb{R}$ e $u_0 : \Omega \rightarrow \mathbb{R}$, trovare $u : \Omega_T \rightarrow \mathbb{R}$ tale che:

$$\begin{cases} \partial_t u - \partial_x(\gamma \partial_x u) = f, & \text{in } \Omega_T, \\ u(a, t) = \alpha(t), & \text{per } t \in [0, T], \\ u(b, t) = \beta(t), & \text{per } t \in [0, T], \\ u(x, t=0) = u_0, & \text{in } \Omega \times \{0\}. \end{cases}$$

Date condizioni al bordo di Dirichlet omogenee, la forma debole di questo problema è:

Trovare, $\forall t \in [0, T]$, $u(t) \in V = H_0^1(\Omega)$ tale che

$$m(\partial_t u, v) + a(u, v) = F(v), \quad \forall v \in V,$$

dove abbiamo definito:

$$m(u, v) = \int_a^b u v dx, \quad a(u, v) = \int_a^b \gamma \partial_x u \partial_x v dx, \quad F(v) = \int_a^b f v dx.$$

Fissato $t \in (0, T)$, la semi-discretizzazione in spazio si ottiene applicando il **Metodo degli Elementi Finiti**, scegliendo un sottospazio $V_h \subset V$ di dimensione N_h finita e una sua base di funzioni linearmente indipendenti $\{\phi_j\}_{j=1}^{N_h}$. Il problema semi-discreto può quindi essere scritto in forma matriciale come segue:

Trovare, $\forall t \in [0, T]$, $\mathbf{u}(t) \in \mathbb{R}^{N_h}$ tale che

$$\mathbf{M} d_t \mathbf{u}(t) + \mathbf{A} \mathbf{u}(t) = \mathbf{f}(t),$$

dove

- $\mathbf{M} \in \mathbb{R}^{N_h \times N_h}$: $m_{ij} = m(\phi_j, \phi_i)$ è la matrice di massa degli Elementi Finiti;
- $\mathbf{A} \in \mathbb{R}^{N_h \times N_h}$: $a_{ij} = a(\phi_j, \phi_i)$ è la matrice di rigidezza;
- $\mathbf{f}(t) \in \mathbb{R}^{N_h}$: $\mathbf{F}(\phi_i) = [\mathbf{M}[f_1(t), \dots, f_{N_h}(t)]^T]_i$ è il vettore termine noto;
- $\mathbf{u}(t) \in \mathbb{R}^{N_h}$: $\mathbf{u}(t) = [u_1(t), \dots, u_{N_h}(t)]^T$.

Per il calcolo di \mathbf{A} e \mathbf{M} utilizziamo lo spazio degli Elementi Finiti

$$X_{h,0}^r = \{v_h \in \mathcal{C}([0, T]) : v_h|_{[x_{i-1}, x_i]} \in \mathbb{P}_r(x_{i-1}, x_i)\} \cap \mathcal{C}([0, L]).$$

Il problema in tempo è quindi una ODE e può essere riscritto come segue:

$$\begin{cases} d_t \mathbf{u}(t) = \tilde{\mathbf{f}}(t, \mathbf{u}(t)), & t \in [0, T], \\ \mathbf{u}(0) = \mathbf{u}_0, \end{cases}$$

con termine noto $\tilde{\mathbf{f}}(t, \mathbf{u}(t)) = -\mathbf{M}^{-1}\mathbf{A}\mathbf{u}(t) + \mathbf{M}^{-1}\mathbf{f}(t)$.

Dividiamo quindi $[0, T]$ in N_t sottointervalli (t_n, t_{n+1}) tali che $t_0 = 0, t_{N_t} = T, t_n = n\Delta t$, con passo temporale $\Delta t = T/N_t$ e definiamo $\mathbf{u}^n = \mathbf{u}(t_n)$, $n = 0, \dots, N_t$.

Discretizziamo la derivata in tempo come:

$$d_t \mathbf{u} \simeq \frac{\mathbf{u}^{n+1} - \mathbf{u}^n}{\Delta t}$$

e applichiamo il θ -metodo per discretizzare la ODE:

$$\frac{\mathbf{u}^{n+1} - \mathbf{u}^n}{\Delta t} = \theta \tilde{\mathbf{f}}^{n+1} + (1 - \theta) \tilde{\mathbf{f}}^n, \quad \theta \in [0, 1].$$

Sostituendo qui l'espressione di $\tilde{\mathbf{f}}$ otteniamo:

$$\mathbf{M} \frac{\mathbf{u}^{n+1} - \mathbf{u}^n}{\Delta t} + \theta \mathbf{A} \mathbf{u}^{n+1} + (1 - \theta) \mathbf{A} \mathbf{u}^n = \theta \mathbf{f}^{n+1} + (1 - \theta) \mathbf{f}^n, \quad \theta \in [0, 1].$$

Infine, il problema discreto diventa:

$\forall n = 1, \dots, N_t$ trovare $\mathbf{u}^n \in \mathbb{R}^{N_h}$ tale che

$$\begin{cases} \left(\frac{\mathbf{M}}{\Delta t} + \theta \mathbf{A} \right) \mathbf{u}^{n+1} = \left(\frac{\mathbf{M}}{\Delta t} - (1 - \theta) \mathbf{A} \right) \mathbf{u}^n + \theta \mathbf{f}^{n+1} + (1 - \theta) \mathbf{f}^n, & \forall n = 1, \dots, N_t, \\ \mathbf{u}^0 = \mathbf{u}_0. \end{cases}$$

A partire dall'istante $n = 0$, possiamo ricavare iterativamente tutti i valori di \mathbf{u} al passo successivo attraverso la risoluzione di un sistema lineare:

Theta-metodo. Input: $\{\mathbf{f}^n\}_{n=1}^{N_t}, \mathbf{u}_0, \theta$. *Output:* \mathbf{U}

1. Inizializzo $\mathbf{u}_n = \mathbf{u}_0, \mathbf{U} = [\mathbf{u}_n]$;
2. For $n = 1, \dots, N_t$
 - 2.1. Calcolo \mathbf{u}_{n+1} come soluzione del sistema lineare dato dal *theta*-metodo con parametro θ ;
 - 2.2. Aggiorno $\mathbf{u}_n = \mathbf{u}_{n+1}$;
 - 2.3. $\mathbf{U} = [\mathbf{U}, \mathbf{u}_{n+1}]$.

Il θ -metodo è incondizionatamente assolutamente stabile per $\theta \in [0.5, 1]$ e condizionatamente assolutamente stabile per $\theta \in [0, 0.5)$, con condizione di stabilità

$$\Delta t \leq \frac{2}{\max |\lambda(\mathbf{M}^{-1}\mathbf{A})|} \approx c h^2,$$

dove $\lambda(\mathbf{M}^{-1}\mathbf{A})$ indica gli autovalori della matrice $\mathbf{M}^{-1}\mathbf{A}$, da cui dipende la costante $c > 0$.

✓ Esercizio 1: problema del calore

Dato il problema

$$\begin{cases} \partial_t u - \partial_x D \partial_x u = f(x), & \text{in } (0, L) \times [0, T), \\ u(0, t) = u(L, t) = 0, & \text{per } t \in [0, T), \\ u(x, 0) = u_0, & \text{in } (0, L), \end{cases}$$

con $D = 1, L = 1, T = 1$,

$$u_0(x) = \sin(\pi x), \quad f(x, t) = (\pi^2 - 2) \sin(\pi x) e^{-2t}.$$

Si consideri la function seguente funzione

```
heatSolve(D, f, L, h, u0, T, dt, theta)
##
##
return V,u,t
```

dove in input abbiamo:

- D il coefficiente di diffusione;
- f termine noto;
- L lunghezza dell'intervallo spaziale;
- h passo della griglia spaziale;
- u_0 dato iniziale;
- T istante di tempo finale;
- dt passo temporale;
- θ , parametro del theta-metodo;

ed in output

- V spazio FEM;
- u matrice contenente i corrispondenti valori della soluzione $u_{i,n} = u_i(t^n), i = 1, \dots, N_h, n = 1, \dots, N_T$;
- t vettore contenente gli istanti temporali: $t^n, n = 0, \dots, N_t$.

Esercizio 1.1

Si implementi il θ -metodo per la risoluzione del problema in tempo nella function `heatSolve`.

```
1 import matplotlib.pyplot as plt
2 import numpy as np
3 from fem import install
4
5 install()
```

```

1 from fem import Line, generate_mesh, FESpace, assemble, interpolate, deriv, dx
2
3 def heatSolve(D,f,u0,L,h,T,dt,theta):
4     """
5     Input:
6         D      (float)          Coefficiente di diffusione (positivo).
7         f      (lambda function) Forzante. Si assume  $f = f(x,t)$ .
8         u0     (lambda function) Condizione iniziale.
9         L      (float)          Lunghezza dell'intervallo spaziale.
10        h      (float)          Passo della griglia spaziale.
11        T      (float)          Tempo finale
12        dt     (float)          Passo temporale.
13        theta  (float)          Parametro del theta-metodo.
14
15    Output:
16        V      spazio elementi finiti
17        u      (numpy.ndarray)-> matrix Matrice contenente la soluzione
18                                   approssimata del problema.  $U_{ij}$ 
19                                   approssima  $u(\text{dof}_i, t_j)$ : ogni colonna è un
20                                   tempo fissato.
21        t      (numpy.ndarray)-> vector Griglia temporale.
22    """
23    # costruisco il dominio
24    domain = Line(0, L)
25    # costruisco la mesh
26    mesh = generate_mesh(domain, stepsize = h)
27    # costruisco lo spazio FEM di grado 1
28    V = FESpace(mesh, 1)
29
30    # costruisco la griglia temporale
31    nt = np.ceil(T/dt)+1
32    t = np.zeros(int(nt))
33
34    # inizializzo la soluzione
35    u = np.zeros((dofs(V).size, int(nt)))
36
37    # definisco la condizione iniziale
38    u0h = fun2dof(interpolate(u0,V))
39    u[:, 0] = u0h
40
41    # matrice di massa
42    def m(u, v):
43        return u*v*dx
44    # assemblaggio matrice di massa
45    M = assemble(m, V)
46
47    # matrice di diffusione
48    def a(u,v):
49        return deriv(u)*deriv(v)*dx
50    # assemblaggio matrice di diffusione
51    A = D*assemble(a,V)

```

```

52
53 # ciclo temporale
54 for n in range(int(nt)-1):
55     # costruzioni termini noti al tempo dt e dt+1
56     t_old = n*dt
57     t_new = (n+1)*dt
58
59     fold = lambda x: f(x,t_old)
60     fnew = lambda x: f(x,t_new)
61
62     fold_h = interpolate(fold, V)
63     def lold(v):
64         return fold_h*v*dx
65     Fold = assemble(lold, V)
66
67     fnew_h = interpolate(fnew, V)
68     def lnew(v):
69         return fnew_h*v*dx
70     Fnew = assemble(lnew, V)
71
72     # condizioni al bordo omogenee di tipo dirichlet
73     def isLeftNode(x):
74         return x < 1e-12
75
76     def isRightNode(x):
77         return x > L - 1e-12
78
79     dbc1 = DirichletBC(isLeftNode, 0.0)
80     dbc2 = DirichletBC(isRightNode, 0.0)
81
82     A = applyBCs(A, V, dbc1, dbc2)
83     M = applyBCs(M, V, dbc1, dbc2)
84     Fold = applyBCs(Fold, V, dbc1, dbc2)
85     Fnew = applyBCs(Fnew, V, dbc1, dbc2)
86
87     # Costruzione del sistema lineare e sua risoluzione
88     B = (M/dt+theta*A)
89     b = (M/dt-(1-theta)*A)*u[:,n] + theta*Fnew +(1-theta)*Fold
90
91     from scipy.sparse.linalg import spsolve
92
93     u[:,n+1] = spsolve(B, b)
94     t[n+1] = t_new
95
96 return V,u,t
97

```

Esercizio 1.2

Risolvere il problema con i seguenti dati: $h = 0.1$, $\Delta t = 0.01$ e $\theta = 0.5$.

```

1 # Dati del problema del calore
2 T=1
3 dt = 0.01
4 # intervallo
5 L=1
6 h=0.1
7 # coefficiente di diffusione
8 D=1
9 # parametro per il theta methodo
10 theta = 0.5
11 # termine noto
12 f = lambda x, t: (np.pi*np.pi -2)*np.sin(np.pi*x)*np.exp(-2*t)
13 # condizione iniziale
14 u0 = lambda x: np.sin(np.pi*x)
15
16 # risoluzione equazione del calore
17 V,u,t = heatSolve(D,f,u0,L,h,T,dt,theta)

```

Esercizio 1.3

Data la soluzione esatta

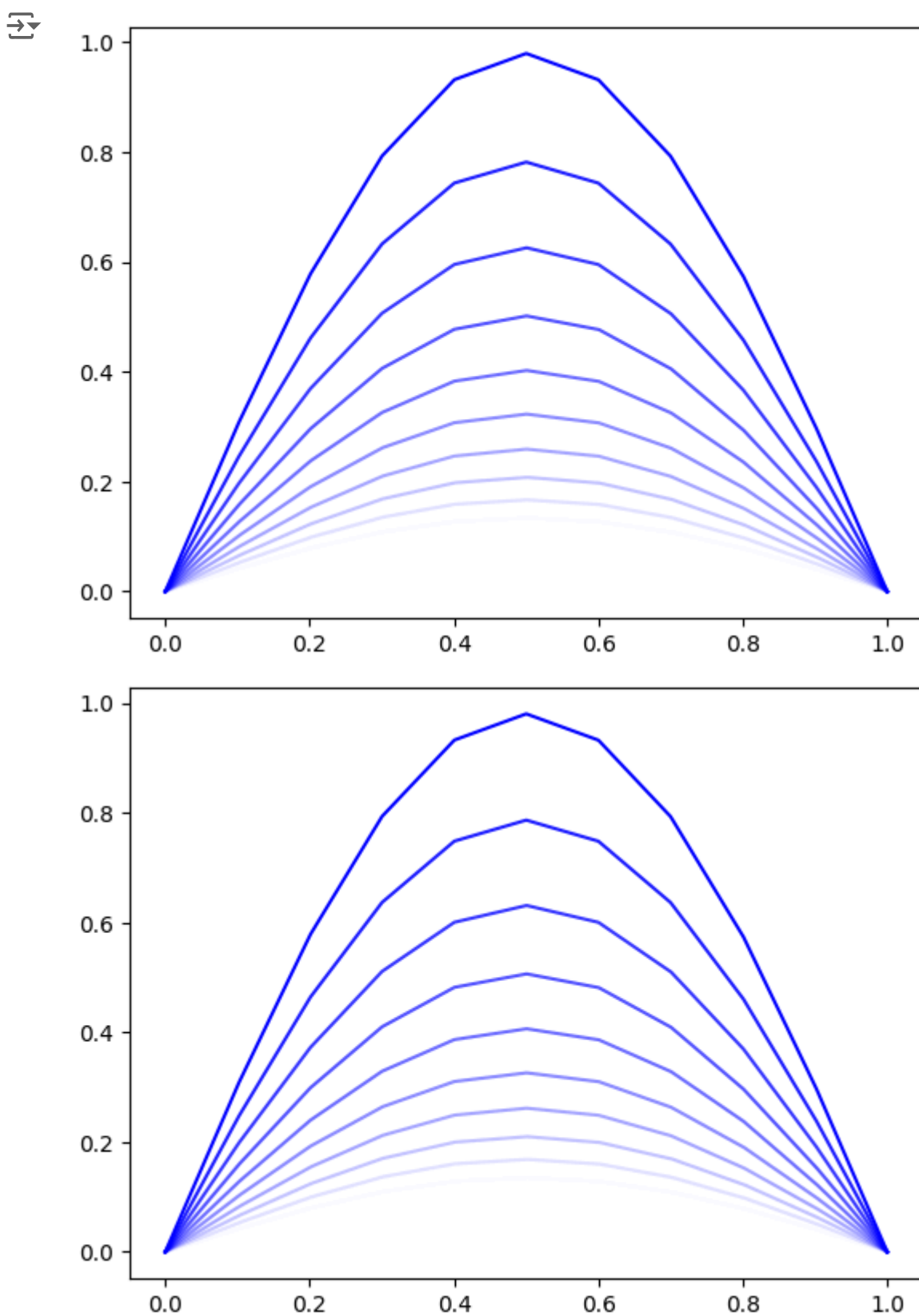
$$u_{\text{ex}}(x, t) = \sin(\pi x)e^{-2t}$$

rappresentare su due grafici la soluzione esatta e la soluzione approssimata in $[0, T)$.

```

1 from fem import xtplot
2
3 uex = lambda x,t: np.sin(np.pi*x)*np.exp(-2*t);
4
5 # questo serve per la rappresentazione della soluzione esatta
6 uex_t = np.zeros(u.shape)
7
8 for i in range(len(t)):
9     uext = lambda x: uex(x,t[i])
10    uext =interpolate(uext,V)
11    uex_t[:,i] = fun2dof(uext)
12
13 # soluzione approssimata
14 xtplot(V,u,t,'fade')
15 plt.show()
16
17 # soluzione esatta
18 xtplot(V,uex_t,t,'fade')
19 plt.show()
20

```



Esercizio 1.4

Calcolare l'errore

$$e(h, \Delta t) := \max_{t^n} \sqrt{\int_0^L |u_{ex}(x, t^n) - u_h(x, t^n)|^2 dx}$$

cioè il massimo, in tempo, degli errori in norma L^2 , dove $u_h(x, t^n) := \sum_{i=1}^{N_h} u_{i,n} \phi_i(x)$.

```

1 from fem import L2error
2
3 domain = Line(0, L)
4
5 err_t = []
6 for i in range(len(t)):
7     uext = lambda x: uex(x,t[i])
8     uht = dof2fun(u[:,i], V)
9     err_t.append(L2error(uext, uht, domain))
10
11 err = max(err_t)
12
13 print(err)

```

→ 0.008293779025060139

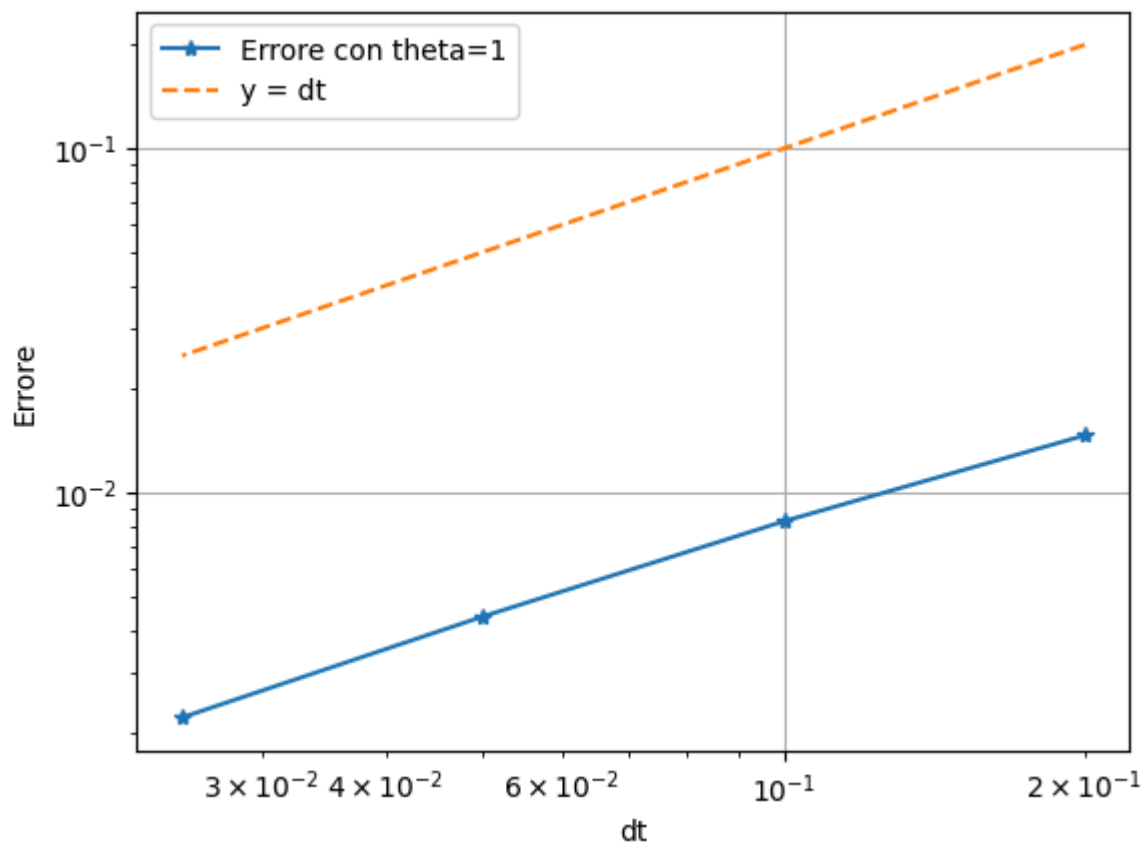
Esercizio 1.5

Risolvere il problema con $h = 0.01$ e $\theta = 1$ per Δt che assume i valori $\{0.2, 0.1, 0.05, 0.025\}$ e rappresentare su un grafico l'andamento dell'errore $e(h, \Delta t)$ al variare di Δt . Cosa si osserva?

```

1 h = 0.01
2 theta = 1
3
4 errors = []
5
6 dts = [0.2, 0.1, 0.05, 0.025]
7 for dt in dts:
8     V,u,t = heatSolve(D,f,u0,L,h,T,dt,theta)
9
10    err_t = []
11
12    for i in range(len(t)):
13        uext = lambda x: uex(x,t[i])
14        uht = dof2fun(u[:,i], V)
15        err_t.append(L2error(uext, uht, domain))
16
17    err = max(err_t)
18
19    errors.append(err)
20
21 plt.figure()
22 plt.loglog(dts, errors, '*-')
23 plt.loglog(dts,dts, '--')
24 plt.grid()
25 plt.xlabel('dt')
26 plt.ylabel('Errore')
27 plt.legend(['Errore con theta=1','y = dt'])
28 plt.show()

```

Il grafico rappresenta l'andamento del massimo errore in norma L^2 sul ogni griglia temporale onsiderata, confrontato con la linea $y = dt$. Osserviamo che l'errore decresce per passi temporali ridotti e l'ordine di convergenza è pari a 1.

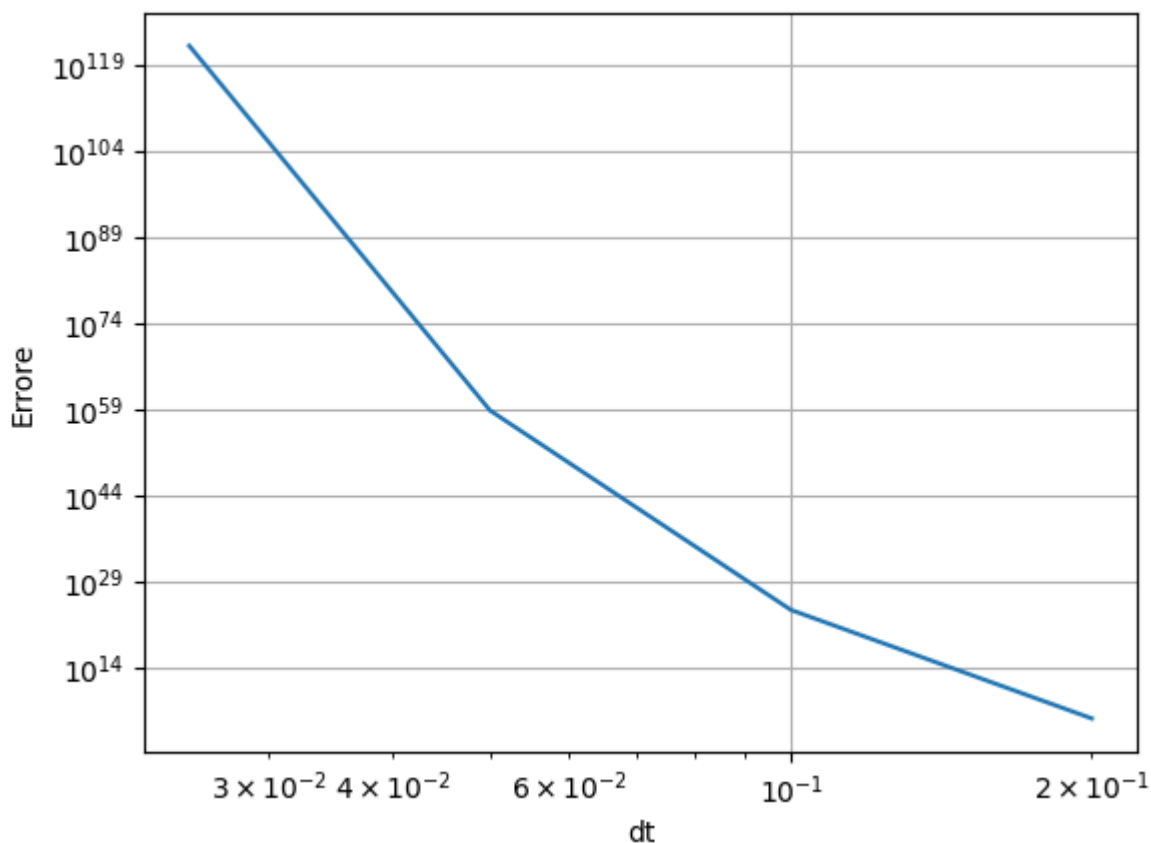
Esercizio 1.6

Risolvere il problema con $h = 0.01$ e $\theta = 0$ per Δt che assume i valori $\{0.2, 0.1, 0.05, 0.025\}$ e rappresentare su un grafico l'andamento dell'errore $e(h, \Delta t)$ al variare di Δt . Cosa si osserva?

```

1 theta = 0
2
3 errors = []
4
5 dts = [0.2, 0.1, 0.05, 0.025]
6 for dt in dts:
7     V,u,t = heatSolve(D,f,u0,L,h,T,dt,theta)
8
9     err_t = []
10
11     for i in range(len(t)):
12         uext = lambda x: uex(x,t[i])
13         uht = dof2fun(u[:,i], V)
14         err_t.append(L2error(uext, uht, domain))
15
16     err = max(err_t)
17
18     errors.append(err)
19
20 plt.figure()
21 plt.loglog(dts, errors)
22 plt.grid()
23 plt.xlabel('dt')
24 plt.ylabel('Errore')
25 plt.show()

```



L'errore esplode al decrescere del passo temporale scelto. Infatti il metodo è condizionatamente stabile per $\theta \in [0, 0.5)$ e la condizione $\Delta t \leq ch^2$ sul rapporto tra i passi delle due griglie non è rispettata.

✓ Esercizio 2: problema diffusione-trasporto tempo dipendente

Si consideri il problema di diffusione-trasporto tempo dipendente

$$\begin{cases} \partial_t u = a \partial_{xx} u - b \partial_x u + f(x), & \text{in } (0, L) \times [0, T), \\ u(0, t) = 0, \quad u(L, t) = 0, & \text{per } t \in [0, T), \\ u(x, 0) = u_0, & \text{in } (0, L) \end{cases}$$

con coefficienti costanti, $a = 10^{-2}$, $b = 1$, $L = 1$, $T = 0.25$, forzante nulla, $f(x, t) \equiv 0$, e profilo iniziale

$$u_0(x) = \begin{cases} \cos^4(4\pi x - 2\pi) & 0.375 \leq x \leq 0.625 \\ 0 & \text{altrimenti.} \end{cases}$$

Si consideri la function

```
parabolicSolve(a, b, f, L, h, u0, T, dt, theta)
##
##
return V,u,t
```

dove in input abbiamo:

- a, b coefficiente di diffusione e trasporto, rispettivamente;
- f termine noto;
- L lunghezza dell'intervallo spaziale;
- h passo della griglia spaziale;
- u_0 dato iniziale;
- T istante di tempo finale;
- dt passo temporale;
- θ , parametro del θ -metodo;

ed in output

- V spazio FEM;
- u matrice contenente i corrispondenti valori della soluzione $u_{i,n} = u_i(t^n)$, $i = 1, \dots, N_h$, $n = 1, \dots, N_T$;
- t vettore contenente gli istanti temporali: t^n , $n = 0, \dots, N_t$.

```

1 from fem import Line, generate_mesh, FEspace, assemble, interpolate, deriv, dx
2
3 def parabolicSolve(a,b,f,u0,L,h,T,dt,theta):
4     """
5     Input:
6         a      (float)          Coefficiente di diffusione (positivo).
7         b      (float)          Velocità di trasporto.
8         f      (lambda function) Forzante. Si assume  $f = f(x,t)$ .
9         u0     (lambda function) Condizione iniziale.
10        L      (float)          Lunghezza dell'intervallo spaziale.
11        h      (float)          Passo della griglia spaziale.
12        T      (float)          Tempo finale
13        dt     (float)          Passo temporale.
14        theta  (float)          Parametro del theta-metodo.
15
16    Output:
17        V      spazio elementi finiti
18        u      (numpy.ndarray)-> matrix Matrice contenente la soluzione
19                                     approssimata del problema.  $U_{ij}$ 
20                                     approssima  $u(\text{dof}_i, t_j)$ : ogni colonna è un
21                                     tempo fissato.
22        t      (numpy.ndarray)-> vector Griglia temporale.
23    """
24    # costruisco il dominio
25    domain = Line(0, L)
26    # costruisco la mesh
27    mesh = generate_mesh(domain, stepsize = h)
28    # costruisco lo spazio FEM di grado 1
29    V = FEspace(mesh, 1)
30
31    # costruisco la griglia temporale
32    nt = np.ceil(T/dt)+1
33    t = np.zeros(int(nt))
34
35    # inizializzo la soluzione
36    u = np.zeros((dofs(V).size, int(nt)))
37
38    # definisco la condizione iniziale
39    u0h = fun2dof(interpolate(u0,V))
40    u[:, 0] = u0h
41
42    # matrice di massa
43    def m(u, v):
44        return u*v*dx
45    # assemblaggio matrice di massa
46    M = assemble(m, V)
47
48    # matrice di diffusione
49    def a_diff(u,v):
50        return deriv(u)*deriv(v)*dx
51    # assemblaggio matrice di diffusione

```



```

52 A_diff = assemble(a_diff,V)
53
54 # matrice di trasporto
55 def a_trasp(u,v):
56     return deriv(u)*v*dx
57 # assemblaggio matrice di trasporto
58 A_trasp = assemble(a_trasp, V)
59
60 A = a*A_diff + b*A_trasp
61
62 # ciclo temporale
63 for n in range(int(nt)-1):
64     # costruzioni termini noti al tempo dt e dt+1
65     t_old = n*dt
66     t_new = (n+1)*dt
67
68     fold = lambda x: f(x,t_old)
69     fnew = lambda x: f(x,t_new)
70
71     fold_h = interpolate(fold, V)
72     def lold(v):
73         return fold_h*v*dx
74     Fold = assemble(lold, V)
75
76     fnew_h = interpolate(fnew, V)
77     def lnew(v):
78         return fnew_h*v*dx
79     Fnew = assemble(lnew, V)
80
81     # condizioni al bordo omogenee di tipo dirichlet
82     def isLeftNode(x):
83         return x < 1e-12
84
85     def isRightNode(x):
86         return x > L - 1e-12
87
88     dbc1 = DirichletBC(isLeftNode, 0.0)
89     dbc2 = DirichletBC(isRightNode, 0.0)
90
91     A = applyBCs(A, V, dbc1, dbc2)
92     M = applyBCs(M, V, dbc1, dbc2)
93     Fold = applyBCs(Fold, V, dbc1, dbc2)
94     Fnew = applyBCs(Fnew, V, dbc1, dbc2)
95
96     # Costruzione del sistema lineare e sua risoluzione
97     B = (M/dt+theta*A)
98     b = (M/dt-(1-theta)*A)@u[:,n] + theta*Fnew +(1-theta)*Fold
99
100     from scipy.sparse.linalg import spsolve
101
102     u[:,n+1] = spsolve(B, b)

```

```

103     t[n+1] = t_new
104
105     return V,u,t

```

Esercizio 2.1

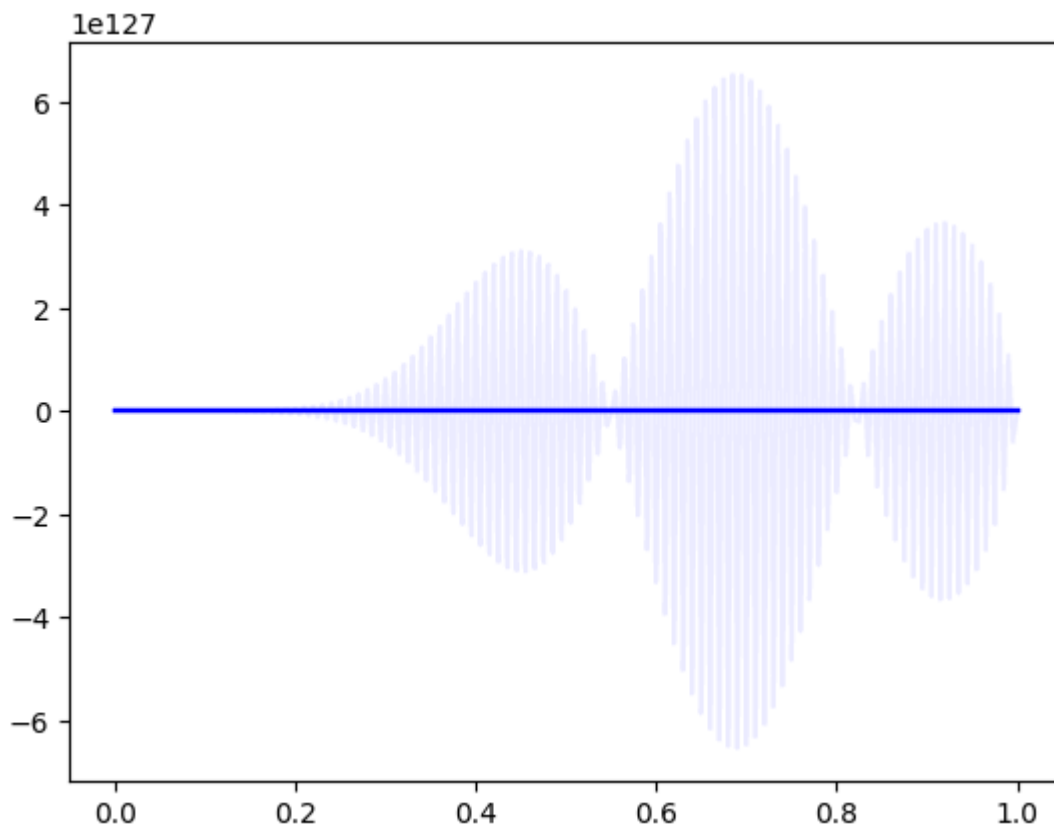
Si testi la funzione *parabolicSolve* con $h = 0.005$, $\Delta t = 0.001$.

```

1 # Dati del problema
2 a = 0.01
3 b = 1
4 L = 1
5 h = 0.005
6 T = 0.25
7 dt = 0.001
8
9 # termine noto
10 f = lambda x,t : 0*x*t
11 # dato iniziale
12 u0 = lambda x : np.cos(4*np.pi*x - 2*np.pi)**4 * (x <= 0.625) * (x >= 0.375)

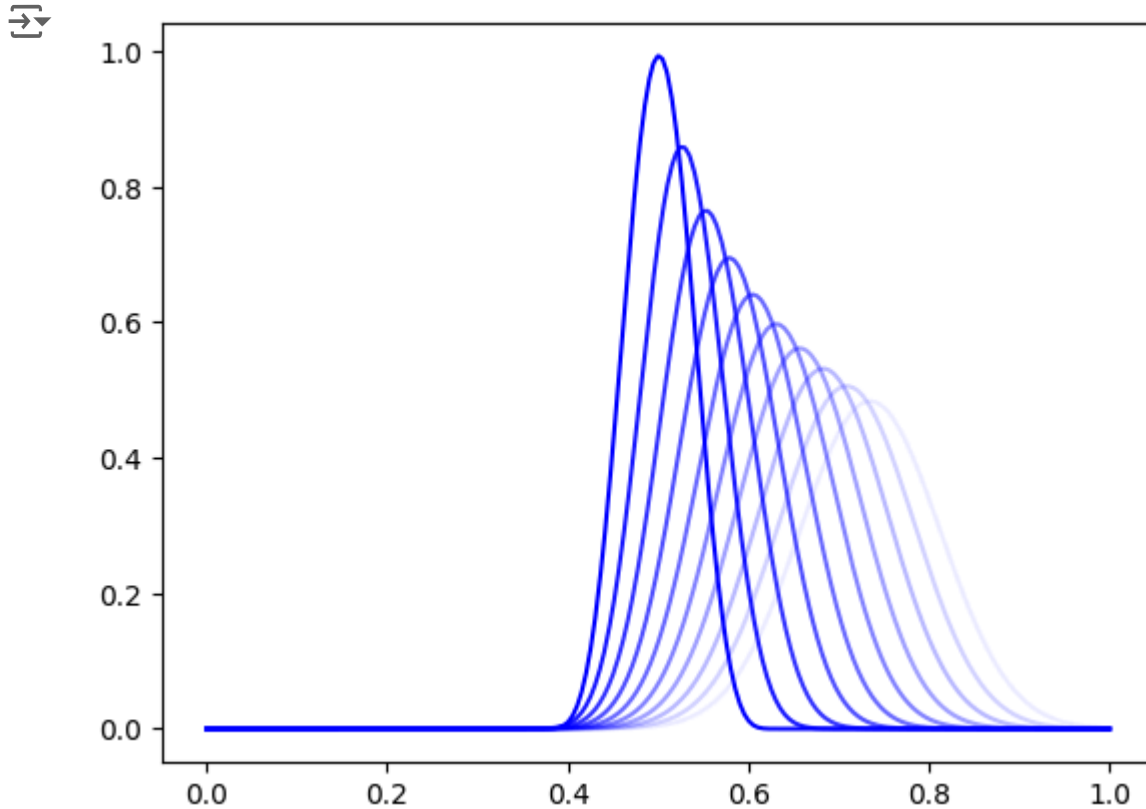
1 # coefficiente di diffusione 0.01, coeffciente di trasporto 1
2 # theta = 0.0
3 V,u,t = parabolicSolve(a,b,f,u0,L,h,T,dt,0)
4 xtplot(V,u,t,'fade')
5 plt.show()

```



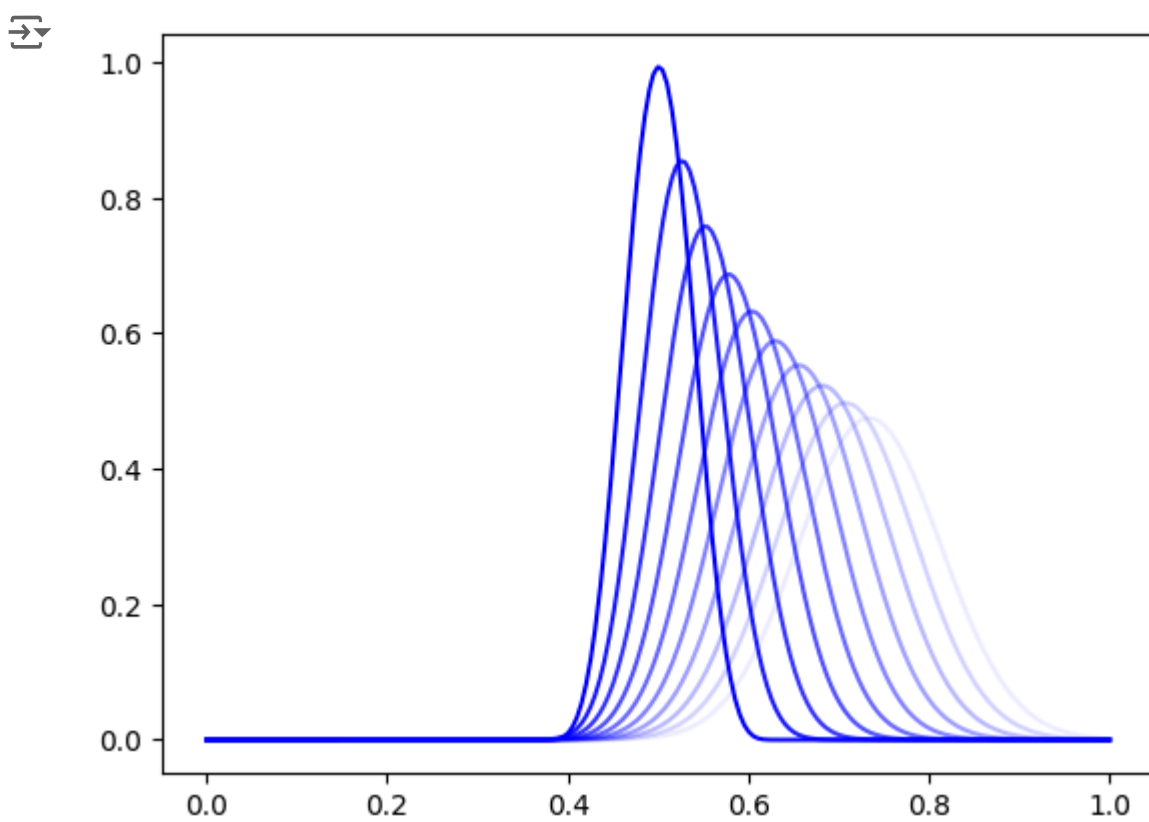
Commento: La soluzione discreta esplode perchè Eulero esplicito è condizionatamente assolutamente stabile e con questa scelta di h e dt ci troviamo fuori dalla regione di assoluta stabilità. Notare l'ordine di grandezza dell'asse y .

```
1 # coefficiente di diffusione 0.01, coefficiente di trasporto 1
2 # theta = 0.5
3 V,u,t = parabolicSolve(a,b,f,u0,L,h,T,dt,0.5)
4 xtplot(V,u,t,'fade')
5 plt.show()
```



Commento: La soluzione discreta si comporta come ci si aspetta, infatti si può notare che la soluzione discreta viene trasportata nella direzione positiva dell'asse x (coefficiente $b > 0$) ed è soggetta a diffusione. Ricordiamo che Crank-Nicholson è incondizionatamente assolutamente stabile.

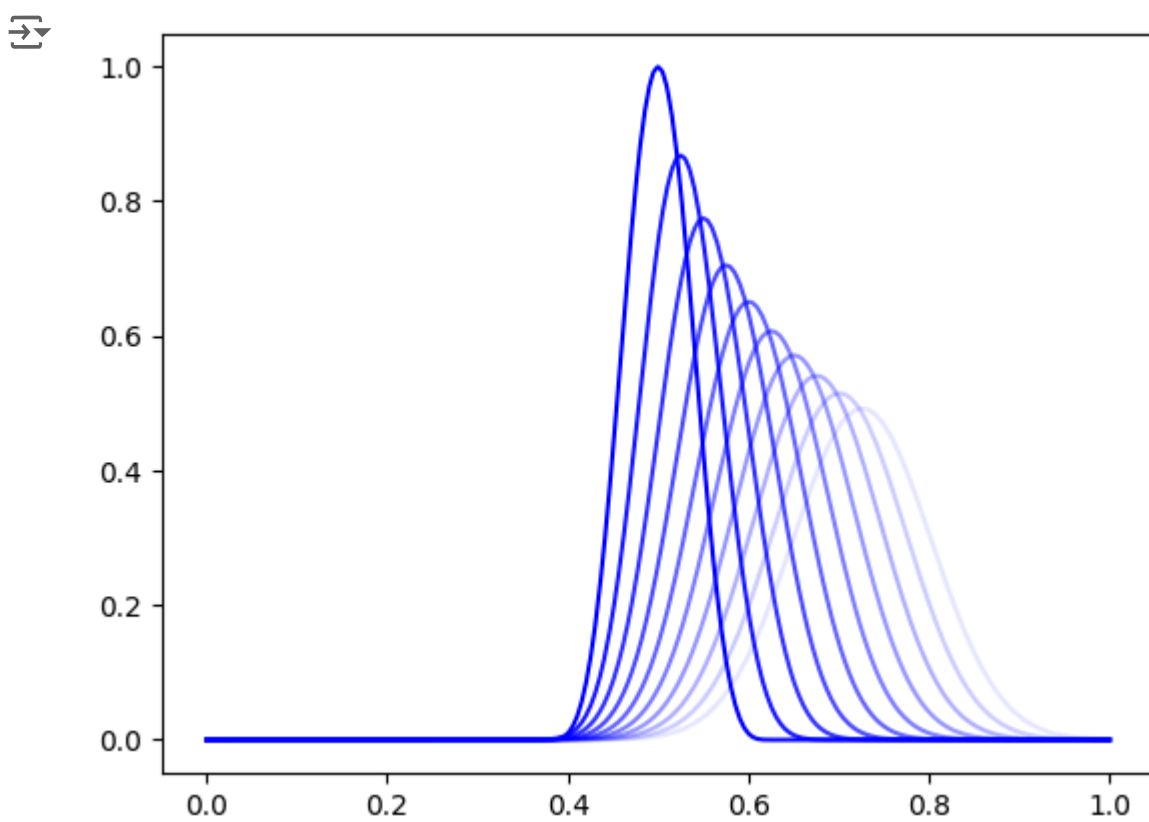
```
1 # coefficiente di diffusione 0.01, coefficiente di trasporto 1
2 # theta = 1
3 V,u,t = parabolicSolve(a,b,f,u0,L,h,T,dt,1)
4 xtplot(V,u,t,'fade')
5 plt.show()
```

Commento: Stesso discorso che abbiamo fatto per Crank-Nicholson lo possiamo vedere con Eulero implicito.

Per far rientrare il metodo di Eulero esplicito nella regione di assoluta stabilità, modifichiamo i dati come segue.

```
1 # coefficiente di diffusione 0.01, coefficiente di trasporto 1
2 # theta = 0 e dt = 1.e-4
3 V,u,t = parabolicSolve(a,b,f,u0,L,h,T,1e-4,0)
4 xtplot(V,u,t,'fade')
5 plt.show()
6
```

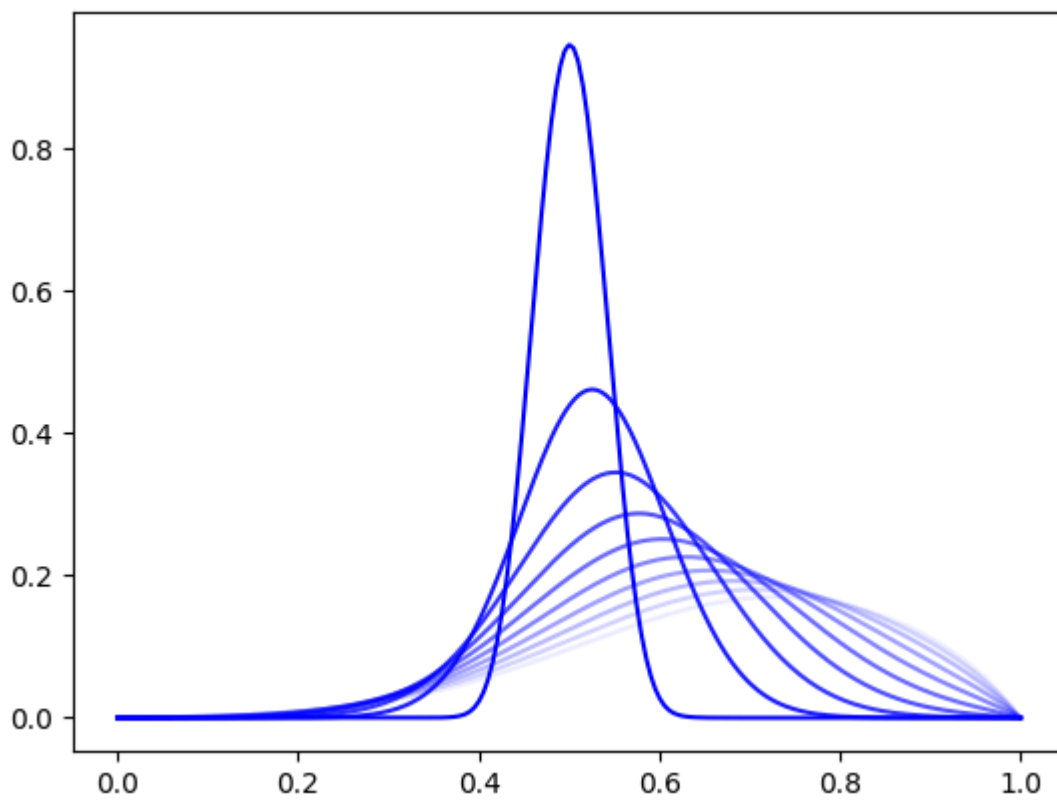


Commento: osserviamo che diminuendo il passo Δt possiamo vedere che Eulero esplicito diventa assolutamente stabile.

Esercizio 2.2

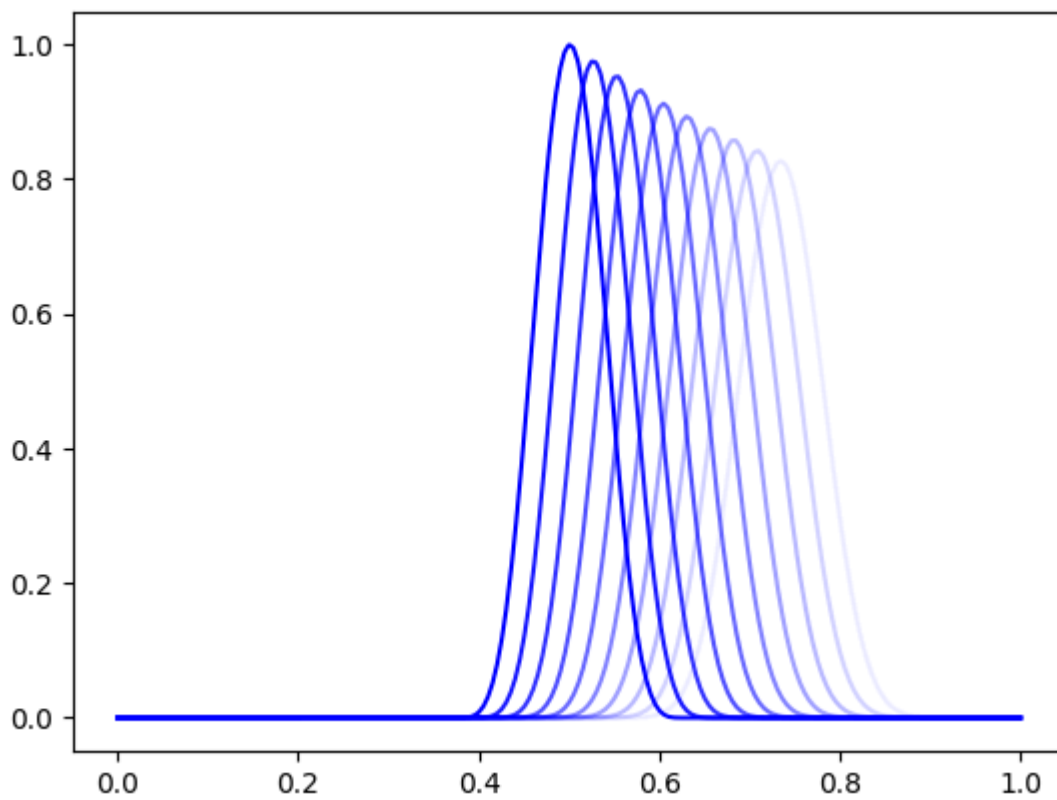
Si ripeta il punto precedente variando i valori di $a > 0$ e $b \in \mathbb{R}$. Come cambia la soluzione numerica?

```
1 # Esempio 1 aumentiamo il coefficiente di dffusione per eulero implicito
2 # coefficiente di diffusione 0.1, coeffciente di trasporto 1
3 # theta = 1
4 V,u,t = parabolicSolve(1e-1,b,f,u0,L,h,T,dt,1)
5 xtplot(V,u,t,'fade')
6 plt.show()
```



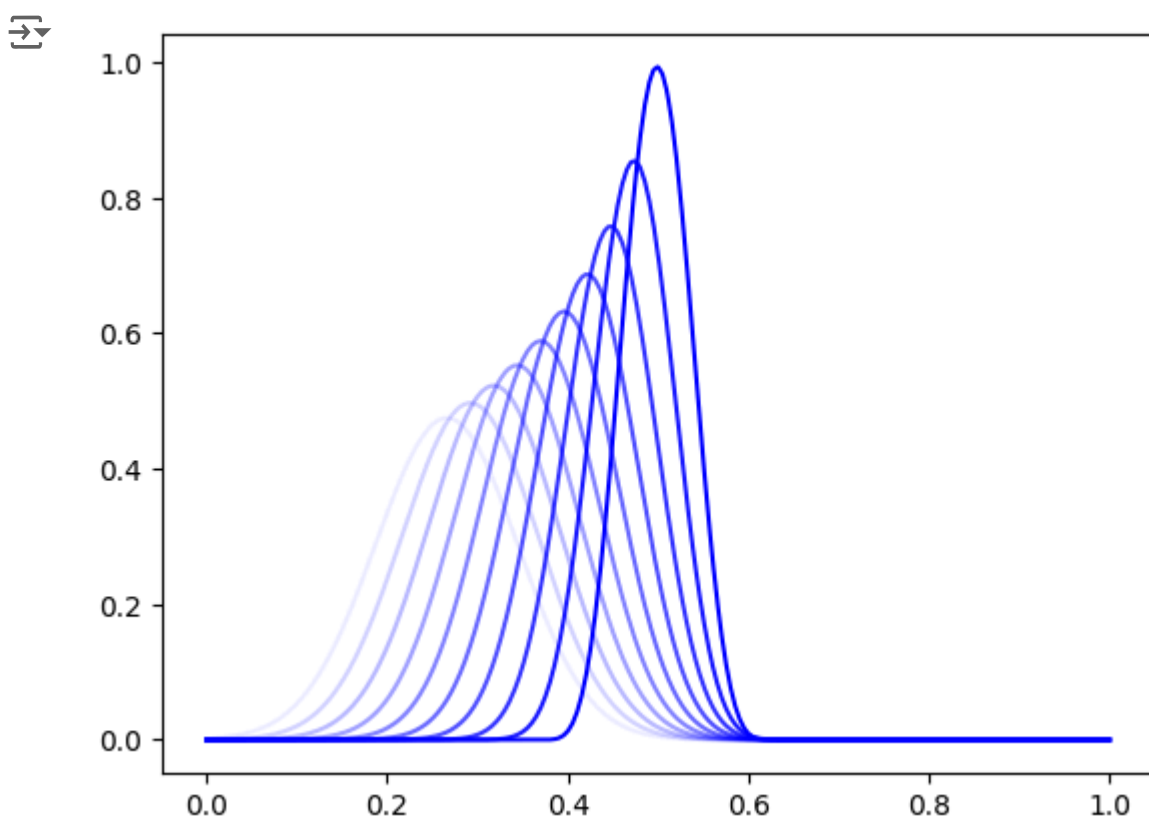
Aumentando il coefficiente α la soluzione è soggetta maggiormente all'effetto di diffusione e possiamo osservare la più rapida diminuzione dell'ampiezza della condizione iniziale.

```
1 # Esempio 2 diminuiamo il coefficiente di diffusione per eulero implicito
2 # coefficiente di diffusione 0.001, coefficiente di trasporto 1
3 # theta = 1
4 V,u,t = parabolicSolve(1e-3,b,f,u0,L,h,T,dt,1)
5 xtplot(V,u,t,'fade')
6 plt.show()
```



Rimpicciolendo il coefficiente a la soluzione è meno soggetta a diffusione e osserviamo la condizione iniziale trasportata lungo la direzione positiva dell'asse x con lieve diminuzione della sua ampiezza.

```
1 # Esempio 3 inverto il trasporto per eulero implicito
2 # coefficiente di diffusione 0.01, coefficiente di trasporto -1
3 # theta = 1
4 V,u,t = parabolicSolve(1e-2,-b,f,u0,L,h,T,dt,1)
5 xtplot(V,u,t,'fade')
6 plt.show()
```



Invertendo il segno del coefficiente b abbiamo invertito il verso della velocità di trasporto. Adesso la condizione iniziale viene trasportata lungo la direzione negativa dell'asse x .

```
1 # Esempio 4 aumentiamo il coefficiente di diffusione per Crank-Nicolson
2 # coefficiente di diffusione 0.1, coefficiente di trasporto 1
3 # theta = 0.5
4 V,u,t = parabolicSolve(1e-1,b,f,u0,L,h,T,dt,0.5)
5 xtplot(V,u,t,'fade')
6 plt.show()
```



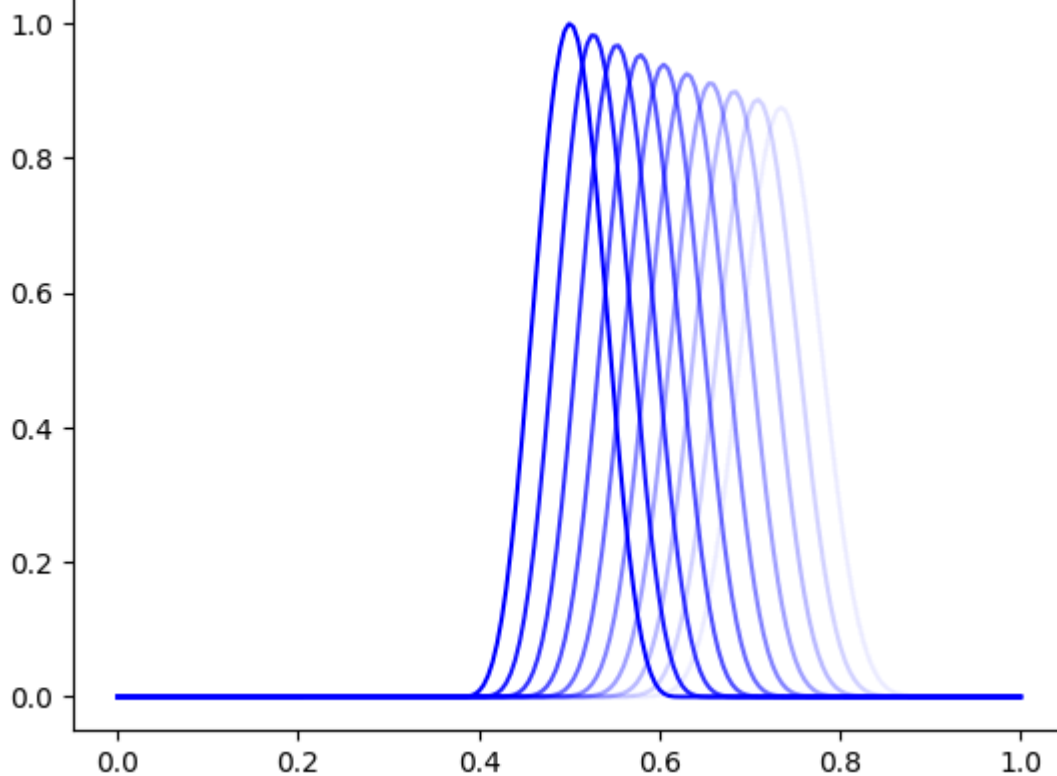
Risultato simile a quanto visto per $\theta = 1$.

0.8

1 1

1

```
1 # Esempio 5 diminuiamo il coefficiente di dffusione per Crank-Nicolson
2 # coefficiente di diffusione 0.001, coeffciente di trasporto 1
3 # theta = 0.5
4 V,u,t = parabolicSolve(1e-3,b,f,u0,L,h,T,dt,0.5)
5 xtplot(V,u,t,'fade')
6 plt.show()
```



Risultato simile a quanto visto per $\theta = 1$.

```
1 # Esempio 6 inverto il trasporto per Crank-Nicolson
2 # coefficiente di diffusione 0.01, coeffciente di trasporto -1
```